

## (V-16) 高強度コンクリートを用いたP R C部材の時間依存性の変形について

宇都宮大学工学部 学生員 陳 建宏  
宇都宮大学大学院 学生員 袖山隆行  
宇都宮大学工学部 正会員 佐藤良一

### 1、まえがき

近年、 $100\text{N/mm}^2$  クラスの高強度でしかも流動性の高いコンクリートが容易に製造できるようになってきた。それに伴いビルの高層化や橋梁の長大化、軽量化などを目的として高強度コンクリートが利用されてきている。しかし、高強度コンクリートを用いた構造部材の時間依存性の変形挙動はほとんど明らかされていない。そこで本研究では、 $100\text{N/mm}^2$  クラスの高強度コンクリートを用いて、プレストレス量と引張鉄筋比、および圧縮鉄筋比をパラメーターとしたばかり部材の時間依存変形を実験的に検討したものである。

### 2、実験概要

供試体は曲げ部材 10 体併せて同断面のクリープ収縮測定用供試体を 12 体製作した。供試体一覧を表-1 用いたコンクリートの配合を表-2 に示す。供試体の形状は、断面が  $20 \times 25\text{cm}$ 、長さが  $240\text{cm}$  の矩形

引張鉄筋 D10 は溝切り加工したもの、鉄筋比は全断面に対する比率を表す

断面はりである。載荷はスパン  $210\text{cm}$ 、せん断スパン長  $65\text{cm}$  の 2 点載荷とした。純曲げ区間  $80\text{cm}$  を試験区間として平均曲率、コンクリートの圧縮ひずみ、ひび割れ幅、鉄筋ひずみを計測した。平均曲率は試験区間中央で計測されたたわみ量より求めた。鉄筋ひずみは異形鉄筋の縦リブの位置に深さ  $3\text{mm}$ 、幅  $4\text{mm}$  の溝を切削加工して、その溝に試験対象区間の中央  $40\text{cm}$  に  $2\text{cm}$  間隔で貼付したひずみゲージより求めた。

### 3、材料特性[1]

クリープ係数の経時変化の結果を図-2 に示す。図中のクリープ係数の実測値は、本供試体と同じコンクリートを用いた川崎らの実験によって得られたものである[1]。また、推定値は、宮澤ら[2]と同様な方法を用い、載荷時材齢と終局クリープ係数  $\phi_0$  および進行速度決める係数  $\beta_n$  の関係を、載荷時材齢の異なる実測値に基づいて回帰し、CEB-FIP MODEL CODE1990(MC90)[3]の式を修正した式によって得られたものである。実測値と推定値は図-2 に示すようにそれぞれの載荷材齢に対してよく一致している。圧縮強度試験の結果を図-3 に示す。解析にはこの関係を用いた。なお、解析に用いた収縮ひずみは実測値とした。

### 4、変形解析

ひび割れ断面および全断面有効とした断面について、本解析で

はクリープに及ぼす載荷時材齢の影響を考慮した重ね合わせの原理に基づく Step-by-step 法を用いてクリープ解析を行った[4]。ついで、これに基づいて MC90 に基づくテンションステイニングの影響を取り入れ

表-1、供試体一覧表

NO.	名称	引張鉄筋	圧縮鉄筋	PC 鋼材	PC鋼材	載荷モード
	引張鉄筋 (PC鋼材 +引張鉄筋)	断面積 $A_s$ ( $\text{mm}^2$ )	断面積 $A'_s$ ( $\text{mm}^2$ )	断面積 $A_p$ ( $\text{mm}^2$ )	断面積 $A_p$ (%)	( $\text{N/mm}^2$ )
HL10	D19-0	573	1.15	-	-	-
HL12	D19-D16	573	1.15	397.2	0.79	-
HL20	D16(7.1)-0	397.2	0.79	-	80	0.16
HL22	D16(7.1)-D16	317.5	0.64	397.2	0.79	900
HL30	D13(9.0)-0	253.4	0.51	-	128	0.26
HL22	D13(9.0)-D16	184.9	0.37	397.2	0.79	940
HL40	D10(10.7)-0	146.7	0.29	-	180	0.36
HL42	D13(10.7)-D16	184.9	0.37	397.2	0.79	940
HL50	(12.6)-0	-	-	-	250	0.5
HL52	(12.6)-D16	-	-	397.2	0.79	800
					250	0.5

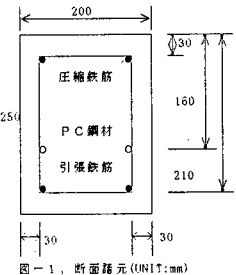


図-1、断面諸元(UNIT:mm)

表-2、コンクリートの配合

設計強度 ( $\text{N/mm}^2$ )	W/C	s/a	SF/B	SP/B	単位量 ( $\text{kg/m}^3$ )			スランプ (cm)	空気量 (%)
					W	C	SF		
105	25	45	10	2.2	150	540	60	766	640
								12.2	65±5
									5±1

注：早強ポルトメントセメントの比重=3.14、比表面積=1420  $\text{cm}^2/\text{g}$ 、シリカフライス(FSF)は、ELKEM Microsilica 940Uである、比重=2.2、比表面積264  $\text{cm}^2/\text{g}$ 、SiO<sub>2</sub>91%、細骨材は鬼怒川産(安山岩)F.M.=2.69、比重=2.61、粗骨材は鬼怒川産(安山岩)F.M.=6.68、比重=2.63、高性能AE減水剤SPはオカリナム隆エーテル系と架橋ポリマーの複合体(レバーリットSP-BHE)

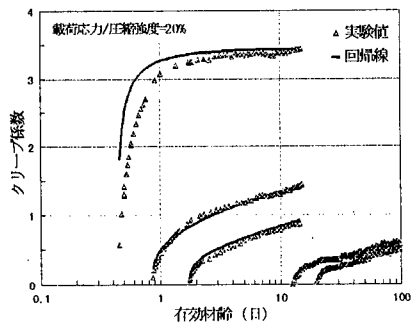


図-2 クリープ係数の経時変化

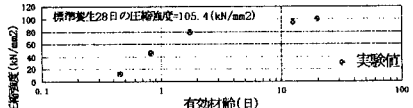


図-3 圧縮強度の経時変化

た解析を行い、実測値と比較することでテンションスティフニングの効果について検討した。

## 5、実験結果および考察

自己収縮の影響 コンクリートの打込み直後からプレストレス導入前までの鉄筋ひずみの実測値および鉄筋ひずみと断面下縁のコンクリート応力の解析値を図-4に示す。鉄筋ひずみの解析値は実測値とよく一致している。また本供試体の鉄筋比が0.64%であるため鉄筋拘束の影響は小さいが、鉄筋比が大きい場合にはその影響は大きい。特に強度発現初期にコンクリートに大きな引張応力が生じる。

引張鉄筋ひずみの経時変化 鉄筋ひずみの実測値の平均値と最大値および解析値を図-5, 6に示す。ひび割れ断面における最大ひずみと平均ひずみの差がテンションスティフニングと考えることができる。これらの図を見れば、テンションスティフニング効果は、100日弱の経過日数であるが、低下しないことが認められる。MC90を用いた解析値と実測値を比較すると、図-5ではテンションスティフニング効果の解析値は実測値の60%である。図-6ではテンションスティフニング効果の解析値は実測値の59%である。ひび割れ本数が少なく、またひび割れ断面においても引張応力が負担される場合には、MC90はテンションスティフニング効果を過小評価することがわかる。

曲率の経時変化 試験区間の平均曲率の経時変化を図-7, 8に示す。鉄筋ひずみの場合と同様、プレストレス量が大きいDm13(9.0)-D16の場合は、MC90を用いた解析値は実測値を過大に評価する。今後は、破壊力学的手法によるひび割れ断面のコンクリートの引張応力負担と、付着の再評価が必要と考えられる。

## 6、まとめ

高強度コンクリートを用いたP R Cはりのプレストレス導入それに続く持続荷重載荷以降の変形挙動の経時変化を実験により検討し、併せてStep-By-Step法を用いて解析を行った。その結果、自己収縮による鉄筋ひずみ、実測値と解析値はおむねよく一致した。ひび割れの分散が十分でない場合の変形挙動については、MC90によるテンションスティフニング効果の評価は過小であることが明らかとなった。

### 参考文献

- [1] 川崎靖幸、楊楊、佐藤良一：高強度コンクリートのクリープ実験、土木学会、第24回関東支部技術研究発表会投稿中、1997
- [2] 宮澤伸吾、大谷博、今本啓一、佐藤良一：超高強度コンクリートの若材齢におけるクリープ特性、第51回土木学会年次学術講演会講演概要集第5部、pp578-579, 1996
- [3] CEB:CEB-FIP Model Code, 1990, Final Draft, 1991
- [4] 山本浩嗣、佐藤良一、涌井一、落合勝：P R C部材の長期変形挙動の検討、コンクリート工学年次論文報告集、Vol.16, No.2, pp.973-978, 1994

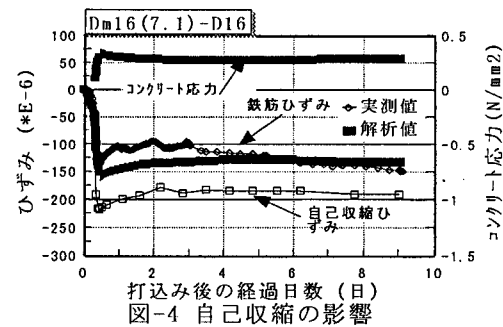


図-4 自己収縮の影響

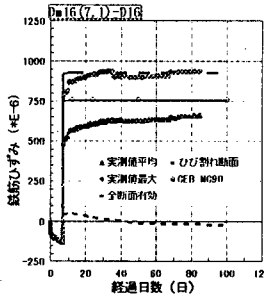


図-5 鉄筋ひずみの経時変化

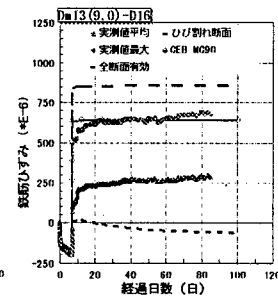


図-6 鉄筋ひずみの経時変化

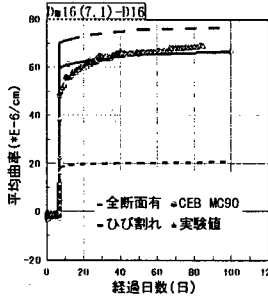


図-7 平均曲率の経時変化

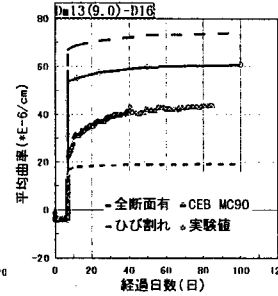


図-8 平均曲率の経時変化